

بررسی مشخصه‌های سیلاب ناشی از شکست سد در محل تنگ‌شدگی مقطع رودخانه

آزاد میرکی، جمیل بهرامی و عطا امینی

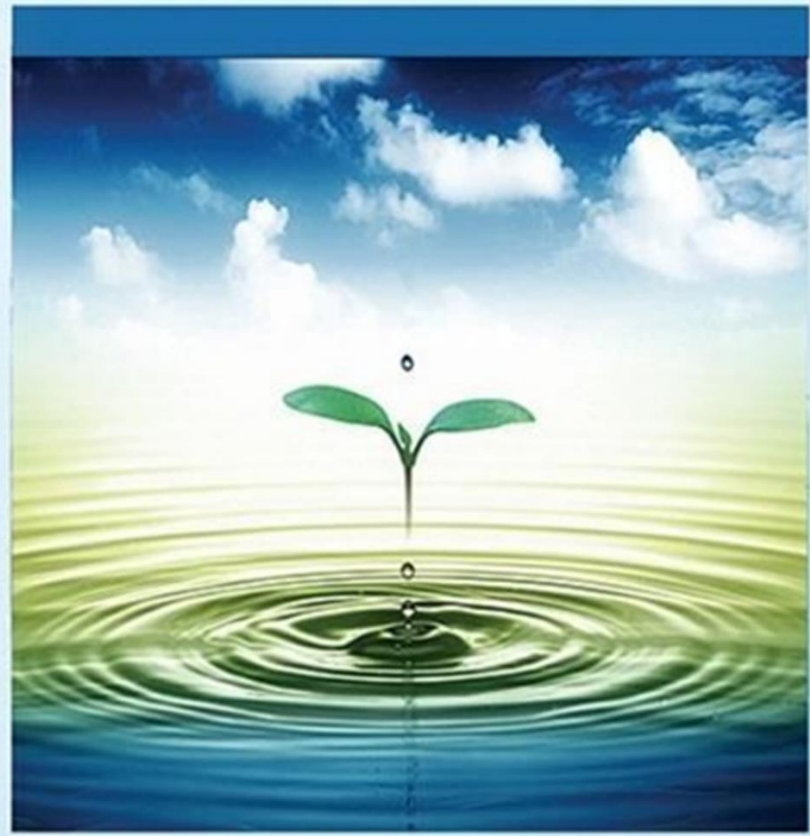
دوره ۶، شماره ۴، زمستان ۱۳۹۹، صفحات ۳۸۸ - ۴۰۱

**Vol. 6(4), Winter 2020, 388 – 401**

DOI: 10.22034/jewe.2020.245577.1411

**Investigation of Flood Characteristics Due To  
Dam Failure in the Narrow Section of The  
River**

Miraki A., Bahrami J. and Amini A.



[www.jewe.ir](http://www.jewe.ir)

OPEN  ACCESS

ارجاع به این مقاله:

میرکی آ., بهرامی ج. و امینی ع. (۱۳۹۹). بررسی مشخصه‌های سیلاب ناشی از شکست سد در محل تنگ‌شدگی مقطع رودخانه. محیط‌زیست و مهندسی آب، دوره ۶، شماره ۴، صفحات: ۳۸۸-۴۰۱.

**Citing this paper:** Miraki A., Bahrami J. and Amini A. (2020). Investigation of flood characteristics due to dam failure in the narrow section of the river. Environ. Water Eng., 6(4), 388–401. DOI: 10.22034/jewe.2020.245577.1411

## بررسی مشخصه‌های سیلاب ناشی از شکست سد در محل تنگ‌شدگی مقطع رودخانه

آزاد میرکی<sup>۱</sup>، جمیل بهرامی<sup>۲\*</sup> و عطا امینی<sup>۳</sup>

<sup>۱</sup>دانش آموخته کارشناسی ارشد، گروه مهندسی عمران، دانشکده مهندسی، دانشگاه کردستان، سنندج، ایران

<sup>۲</sup>استادیار، گروه مهندسی عمران، دانشکده مهندسی، دانشگاه کردستان، سنندج، ایران

<sup>۳</sup>دانشیار، مرکز تحقیقات و آموزش کشاورزی و منابع طبیعی استان کردستان، سنندج، ایران

\*نويسنده مسئول: [jbahrami@uok.ac.ir](mailto:jbahrami@uok.ac.ir)

### مقاله اصلی

تاریخ پذیرش: [۱۳۹۹/۰۷/۲۹]

تاریخ بازنگری: [۱۳۹۹/۰۷/۲۹]

تاریخ دریافت: [۱۳۹۹/۰۶/۰۵]

### چکیده

در این پژوهش تغییرات مشخصه‌های سیلاب ناشی از شکست سد وحدت (قشلاق)، در محل هایی که سطح مقطع رودخانه به دلیل فعالیت‌های انسان تغییر یافته است، مورد بررسی قرار گرفت. به این منظور از مدل HEC-RAS برای شبیه‌سازی شکست سد و روندیابی سیلاب ناشی از آن استفاده شد. داده‌های مربوط به بدن سد و دبی رودخانه قشلاق در استان کردستان از شرکت آب منطقه‌ای استان کردستان تهیه شدند. در نرم‌افزار Arc Map پس از تبدیل مدل رقومی ارتفاع (DEM) به مدل سه‌بعدی (TIN)، پارامترهای موردنیاز و خطوط مربوط به مقاطع عرضی بر روی رودخانه رسم شدند. این داده‌ها به مدل HEC-RAS انتقال یافتند. با بررسی‌های صحرایی مقاطع عرضی اصلاح و ضریب مانینگ در پهنه‌های مختلف اندازه‌گیری شدند. از مسیر موردمطالعه تصاویر متعددی تهیه شد. ارتفاع پل و خاکریزهای موجود در مسیر جريان با استفاده از GPS قرار گرفته‌اند، جهت بررسی تغییرات مشخصه‌های سیلاب در اثر تنگ‌شدگی موضعی انتخاب شدند. تغییرات ارتفاع و پهنه‌ای آب در نقاط موردمطالعه بررسی شدند. نتایج نشان داد که در محل پل گریزه دبی اوج سیلاب ناشی از شکست سد و عمق آب به ترتیب برابر  $23\text{ km}$  و  $33\text{ m}$  و  $4773/79\text{ m}^3/\text{s}$  است. این مقادیر در محل خاکریزها به ترتیب معادل  $4330/0.4\text{ m}^3/\text{s}$  و  $10/8\text{ m}$  است. مقایسه این اعداد با داده‌های محاسبه شده در مقاطع قبل از این موضع، بیانگر کاهش قابل ملاحظه ظرفیت عبور جريان است.

**واژه‌های کلیدی:** دبی اوج سیلاب؛ رودخانه قشلاق؛ روندیابی سیل؛ کردستان؛ HEC-RAS

## ۱- مقدمه

ناشی از تغییراتی است که انسان بر محیط‌زیست تحمیل کرده است. نتایج حاصل از تحقیق ( Abbaszadeh et al. 2011) نشان داد، در حوزه آبخیز رودخانه مادرسو (دوغ) در صورت تبدیل کاربری اراضی فعلی به کاربری بر اساس قابلیت منطقه، در سیلاب‌های ضعیف به طور متوسط ۷۰٪ از میزان سیلاب کاهش خواهد یافت، در سیلاب‌های شدید تا ۴۰٪ و در سیلاب‌های بسیار شدید و استثنایی تا میزان ۲۰٪ در میزان دبی خروجی حوضه کاهش ایجاد خواهد شد. Hosseinzade et al. (2017) نشان دادند که طی yr ۵۷ تغییرات چشم‌گیری در ریخت‌شناسی رودخانه کارون از جمله تغییر در عرض آن به‌ویژه در محدوده شهر اهواز به وجود آمده است. علل اصلی این تغییرات ساخت پل‌های متعدد در مسیر رودخانه به‌ویژه در محدوده شهر اهواز، کاهش دبی پل‌های ساخت سدهای متعدد در بالادست، عوامل زمین‌شناسی و پوشش گیاهی می‌باشد. به طور کلی انسان و دخالت‌های آن، مهم‌ترین عامل تغییرات ریخت‌شناسی بستر رودخانه کارون می‌باشد. Saghafian et al. (2008) به این نتیجه رسیدند که ناپایداری در رژیم جریان، ممکن است به موارد مختلف از جمله تغییرات آب‌وهوا، تغییر کاربری اراضی و سیل‌بندهای ساخت انسان مرتبط باشد.

تغییر در کاربری اراضی می‌تواند تأثیر قابل توجهی در نفوذ و زبری زمین داشته باشد که منجر به ایجاد سیلاب‌های بزرگ‌تر می‌شود. Adeyeri et al. (2020) در پژوهش خود به این نتیجه رسیدند که ساخت سدهای بزرگ، تغییر در کاربری اراضی شامل کاهش پوشش و مرتع، پیشروع مزارع و شهرک‌ها موجب شکستگی در نمودارهای بارش و دبی می‌شود. بیشتر این فعالیتها که موجب افزایش دبی می‌شوند، با تقریب نسبتاً مساوی مربوط به فعالیت‌های انسانی و تغییرات بارش است. Graf (2006) در پژوهش خود به این نتیجه رسید که ساخت سدهای بزرگ بر روی رودخانه، متوسط جریان، دبی اوج سالیانه و دبی روزانه را به طور چشم‌گیری کاهش می‌دهد. سدها مدت زمان بالا و پایین رفتن جریان و زمان حداقل و حداقلتر جریان سالانه را تغییر می‌دهند. Ashouri et al. (2013) تغییرات بستر رودخانه،

تمدن‌های بشری همواره در کنار رودخانه‌ها شکل‌گرفته و رودخانه‌ها یکی از منابع تأمین نیاز و توسعه جوامع انسانی می‌باشند. به‌دلیل رشد روزافزون جمعیت و توسعه سریع زندگی شهری و روستایی در اراضی حاشیه رودخانه‌ها و افزایش تقاضا برای احداث مناطق مسکونی در این اراضی، روند تجاوز به بستر و حریم رودخانه‌ها و دخل و تصرف غیرمجاز در آن‌ها افزایش یافته است ( Flood Zoning Guide 2005). با توجه به نتایج پژوهش Liu et al. (2005) در یک رویداد سیل، رواناب ایجادشده در ناحیه شهری در مقایسه با نواحی دیگر که کاربری متفاوتی دارند، از لحاظ دبی پیک و حجم سیلاب برجسته‌تر است. با جنگل‌زدایی و شهرسازی، دبی اوج و حجم سیلاب افزایش یافته و زمان رسیدن به اوج کاهش می‌یابد. جنگل‌زایی نتیجه عکس داشته و سیلاب را کنترل می‌کند. Nirupama and Simonovic (2007) نشان دادند که از نقطه نظر حفاظت منابع طبیعی، برنامه‌ریزی جهت توسعه شهری، حیاتی است. با گسترش شهرسازی بر روی دشت سیلابی، دیوارهای کنترل سیل موجب تنگ شدن عرض کanal می‌شود. نواحی شهری به سرعت به بارش پاسخ می‌دهند و زمان رسیدن به اوج کاهش و جریان با نقطه اوج بالاتری را ایجاد می‌کنند. Areu et al. (2019) تغییر در کاربری اراضی و تأثیر آن بر جریان رودخانه را بررسی و بیان کرددند که تغییر کاربری می‌تواند منجر به تشدید ایجاد سیل شود. تغییر در کاربری اراضی در حوضه‌های هیدرولوژی بالادستی شهر و شهرنشینی کنترل نشده هم‌جوار سیلاب‌دشت‌ها، دو عامل اصلی افزایش آسیب‌های سیل می‌باشند. Trueheart et al. (2019) به این نتیجه رسیدند که پل‌ها و راههایی که در مسیر رودخانه ساخته می‌شوند با توجه به ویژگی‌هایی که دارند می‌توانند دبی اوج سیلاب را افزایش یا کاهش داده و یا تأثیری بر روی آن نداشته باشند؛ بنابراین پیش‌بینی تأثیر آن‌ها ساده نیست و مدل‌های هیدرولیکی برای آنالیز رودخانه لازم است. با توجه به این که سیل یک پدیده بزرگ هیدرولیکی-هیدرولوژیکی است که جوامع و اکوسیستم را تهدید می‌کند، Gai et al. (2019) در پژوهش خود به این نتیجه رسیدند که تأثیر این حادثه تا حد زیادی

پیشروی انسان به حریم رودخانه ایجاد شده است، بررسی شد. بررسی وضعیت انتقال سیل ناشی از شکست سد در شرایطی که مقطع رودخانه به صورت غیرطبیعی دچار تغییر شده است از جمله کارهایی است که برای نخستین بار در این پژوهش در کشور انجام می‌شود. نتایج این پژوهش می‌تواند مورد استفاده تصمیم گیران و مهندسین بخش اجرا برای کاهش مخاطرات طبیعی مشابه از جمله سیلاب‌های با دوره بازگشت بالا شود.

## ۲- مواد و روش‌ها

### ۲-۱- منطقه موردمطالعه

منطقه موردمطالعه بخشی از حوزه آبخیز سیروان که شامل حوضه سد وحدت و بخشی از رودخانه قشلاق به طول ۴۰ km می‌باشد. حوضه سد وحدت از دو زیر حوضه خلیفه‌ترخان با مساحت<sup>۲</sup> ۶۱۵ km<sup>۲</sup> و حوضه چهل‌گزی با مساحت<sup>۲</sup> ۲۲۶ km<sup>۲</sup> تشکیل شده است. دبی متوسط سالانه در طول آمار ۲۰ ساله از ایستگاه خلیفه‌ترخان ۳/۱۶ m<sup>۳</sup>/s و در ایستگاه چهل‌گزی از ایستگاه خلیفه‌ترخان ۱/۹۶۶ m<sup>۳</sup>/s می‌باشد. سد مخزنی وحدت بر روی رودخانه قشلاق در استان کردستان و در ۱۲ km شمال شهر سنندج به مختصات جغرافیایی ۳۵° ۲۵' عرض شمالی و ۵۹° ۴۶' طول شرقی با ارتفاع تاج ۱۵۷۸ m از سطح دریا قرار دارد (Iran's Ministry of Energy, 2013). در شکل (۱) موقعیت منطقه موردمطالعه شامل سد وحدت و حوزه آبخیز مربوط به آن و بخشی از رودخانه قشلاق که در این پژوهش موردمطالعه قرار گرفته است، نشان داده شده است. کاربری اراضی منطقه موردمطالعه شامل باغ و زراعت آبی، مراتع دیم و بایر، مناطق مسکونی، راه‌ها و تأسیسات می‌باشد.

### ۲-۲- تعیین مقاطع تنگ‌شده

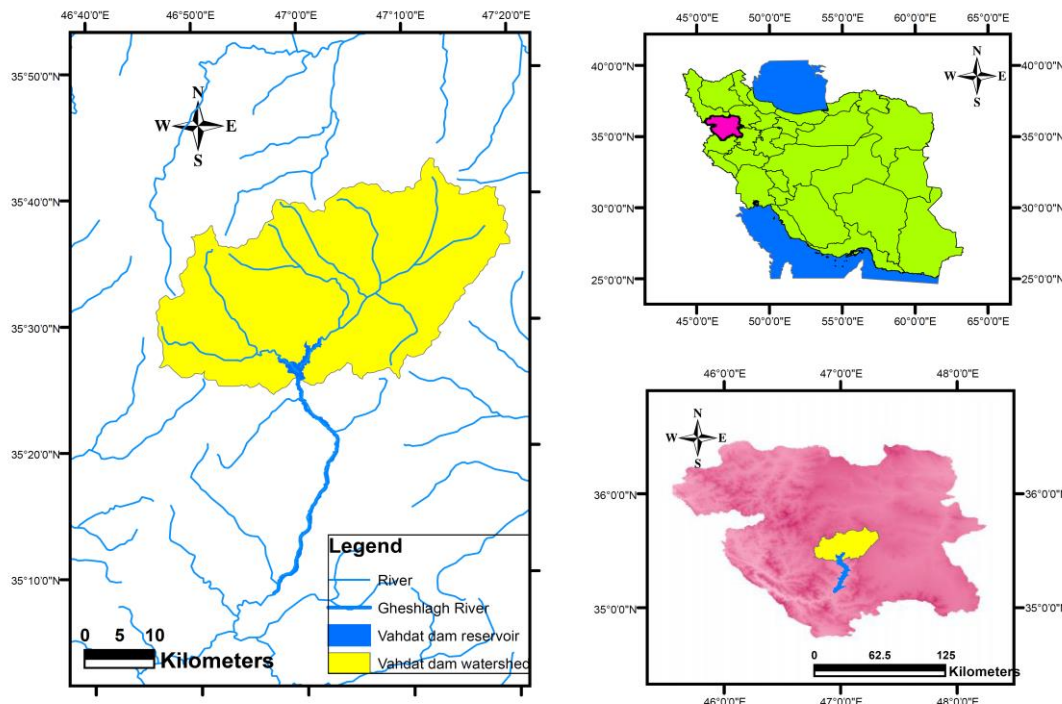
نقطه اول که دارای بیشترین تنگ‌شدنی در مسیر رودخانه است، در ۲۳ km پایین دست سد وحدت قرار دارد. این مقطع به دلیل وجود پل گریزه در آن، دارای عرض کمتر نسبت به مسیر طبیعی رودخانه می‌باشد. در شکل (۲) نمایی از پل گریزه و موقعیت آن نشان داده شده است. پل گریزه به مختصات جغرافیایی به

به دلیل احداث سد را بررسی کردند. نتایج حاکی از کاهش میزان رسوب حمل شده پس از احداث سد، کاهش میزان دبی و ثبات تقریبی آن، پایداری تقریبی بستر رودخانه و جریان یافتن دبی تقریبی ثابت طی سال‌ها است. با توجه به نتایج پژوهش Li et al. (2018) عوامل تأثیرگذار زیادی در مورد عاقب شکست سد وجود دارد. با در نظر گرفتن ۲۰ عامل از جمله خطرات شکست سد، قرارگرفتن در معرض آن و آسیب‌پذیری، سیستم شاخص ارزیابی عاقب خطر شکست سد ساخته شده است. پنج عامل بیشترین اهمیت را در این‌باره دارند. این عوامل شامل جمعیت در معرض خطر، شدت سیل، زمان هشدار، خرد جمعی در مورد خطر و فاصله از سد می‌باشند. Wu et al. (2019) به این نتیجه رسیدند که تأثیر شکست سد بر محیط‌زیست جدی بوده و برای کاهش خطر باید اقدامات مدیریتی مناسب انجام شود. ارزیابی اثرات زیستمحیطی سدسازی با روش‌های سنتی دشوار است، زیرا در این روش‌ها، طبقه‌بندی‌ها دارای ابهام است. در اثر دپو پسماندهای معدنی در بستر و حریم رودخانه، موانعی ایجاد می‌شوند که مانند یک سد عمل می‌کنند. (Raman and Liu 2019) سد برومادینو در کشور بزرگ را موردنظر بررسی قراردادند. در ۲۵ ژانویه سال ۲۰۱۹، این سد دچار شکست شد. در این حادثه ۲۴۸ نفر جان باختند و ارزش خسارت‌های ایجاد شده بیش از ۲.۸۸ میلیون دلار بود.

وجود موانع ناشی از دخالت‌های انسان در مسیر یک رودخانه، موجب تغییر مشخصه‌های جریان در بالادست و پایین‌دست موانع می‌شوند. با توجه به مشاهدات صحرایی، تنگ‌شدنی قابل ملاحظه‌ای در رودخانه قشلاق ایجاد شده است که نتیجه دیوارچینی و ساخت‌وساز در حاشیه رودخانه و نیز خاک‌ریزی‌های ناشی از عملیات‌های عمرانی می‌باشد. از این‌رو در این پژوهش با داده‌برداری صحرایی و استفاده از داده‌های هوایی، شبیه‌سازی شکست سد وحدت با استفاده از نرم‌افزار HEC-RAS و استفاده از قابلیت‌های پردازش داده‌های هوایی در محیط GIS انجام شد. همچنین تغییرات در مشخصه‌های سیلاب در هنگام عبور از مناطق آسیب‌پذیر که در اثر

<sup>۱</sup> Tailings Dam

مختصات جغرافیایی  $35^{\circ} 15'$  عرض شمالی و  $47^{\circ} 40'$  طول شرقی، در محدوده شهر سنندج و بر روی رودخانه قشلاق احداث شده است.



شکل ۱- موقعیت سد قشلاق و بخشی از حوضه سیروان استان کردستان و ایران

Fig. 1 Location of the Gheshlagh Dam and parts of the Sirvan Basin, Kurdistan, Iran

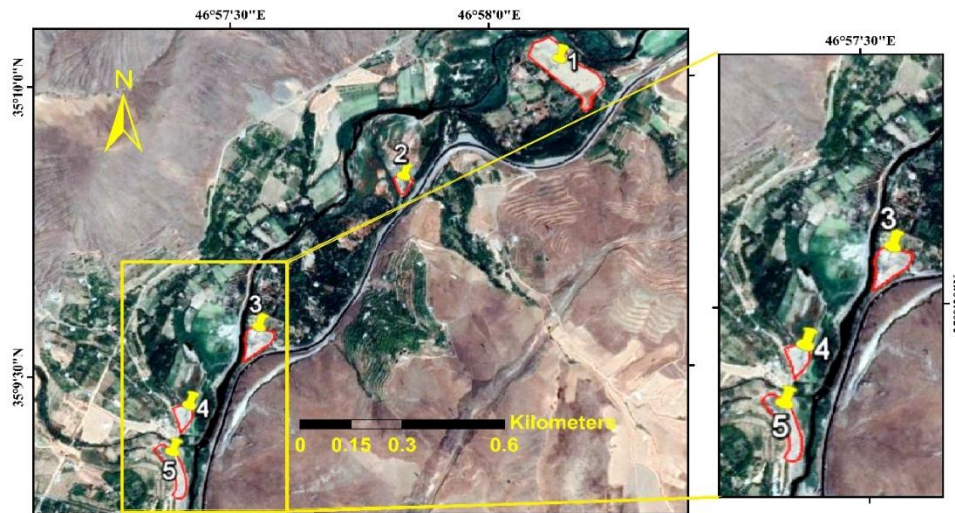


شکل ۲- نمایی از پل گریزه و اطراف آن: a) الف- تصویر محل پل و b- تصویر هوایی از پل و اطراف آن

Fig. 2 View of the Gerize bridge and its surroundings :a) Image of bridge location b) Aerial image of the bridge and its surroundings

با بررسی و بازدید صحراپی کل مسیر رودخانه مشخص شد که در پنج نقطه از رودخانه قشلاق به مختصات جغرافیایی  $N 46^{\circ} 57' 49'' E, 35^{\circ} 9' 49'' N$  و  $N 46^{\circ} 58' 7'' E, 35^{\circ} 9' 34'' N$  و  $N 46^{\circ} 57' 21'' E, 35^{\circ} 9' 26'' N$  و  $N 46^{\circ} 57' 22'' E, 35^{\circ} 9' 21'' N$  خاکریزی در حریم و یا بستر رودخانه انجام شده است. این خاکریزی‌ها در سنندج-کرمانشاه توسط شرکت پیمان‌کار صورت گرفته است. حجم مصالح دپو شده قابل توجه بوده و باعث تغییرات ریختشناسی یکی از جمله تغییر در بستر، سیلاب‌دشت‌ها،

کناره و میزان آبگذری رودخانه شده است. این خاکریزها که از گوگل ارث شده‌اند. نمایی از محل این خاکریزها که از گوگل ارث تهیه شده است در شکل (۳) قابل مشاهده است.



شکل ۳- محل خاکریزها در حیریم رودخانه قشلاق

Fig. 3 The location of the embankments in Gheshlagh river



شکل ۴- خاکریزهای موجود در حیریم رودخانه

Fig. 4 Levee in river floodplain

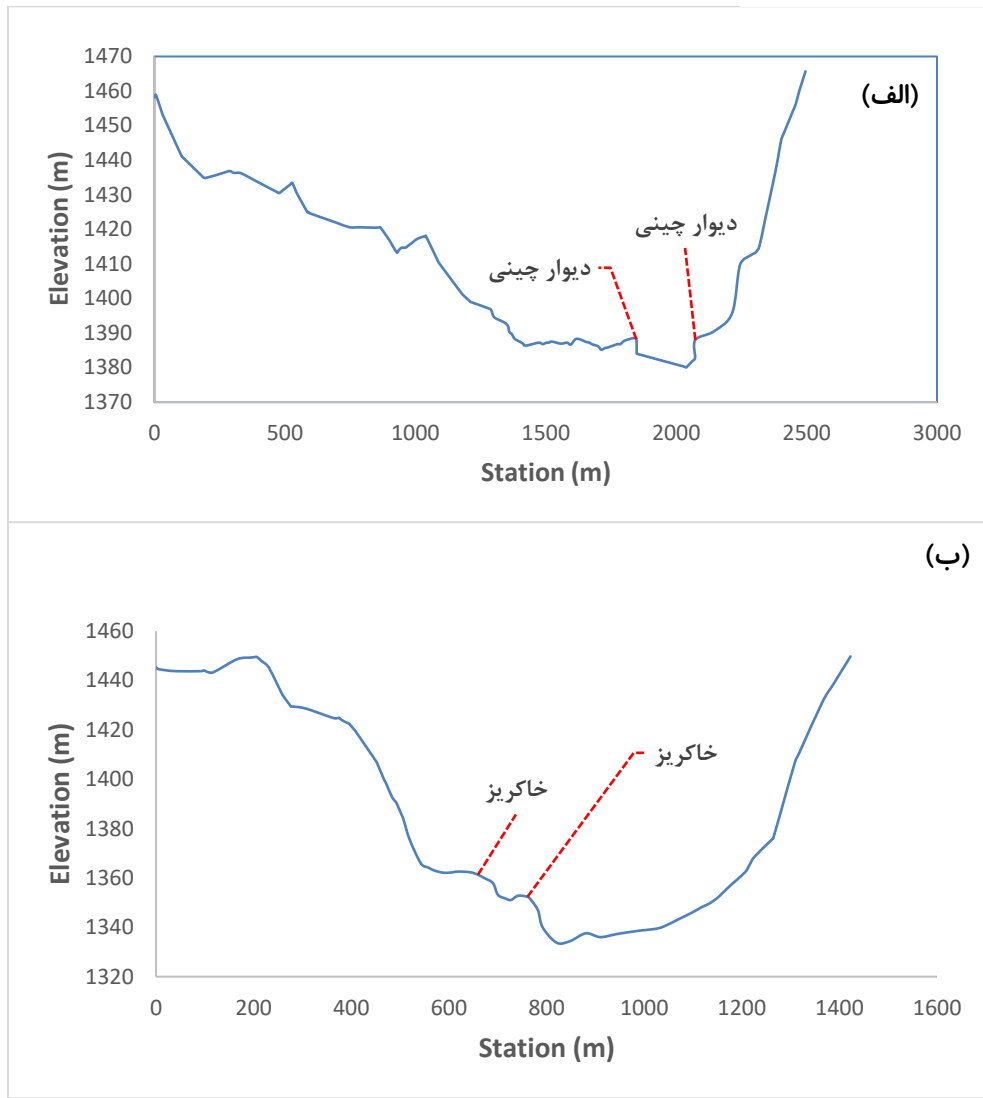
غیرماندگار، محاسبات انتقال رسوپ، مرز متحرک، تحلیل

کیفی آب و محاسبه طراحی هیدرولیکی سازه‌های جانبی و بروخت را دارا می‌باشد (USACE, 2010). در این نرم‌افزار قسمت مجزایی به منظور انجام مطالعات شکست سد در نظر گرفته شده است که در آن قابلیت مدل‌سازی سد و مشخصات گسیختگی سد از جمله لحظه شکست، مدت زمان روند گسیختگی و شکل حفره گسیختگی و عوامل دیگر وجود

### ۳-۲- مدل HEC-RAS

در این پژوهش از نرم‌افزار HEC-RAS ویرایش ۵/۰ و افزونه HEC-GeoRAS ویرایش ۲/۱۰ استفاده شد. نرم‌افزار HEC-RAS یک بسته نرم‌افزاری کامل از سری برنامه‌های تحلیل هیدرولیکی است که ارتباط کاربر با آن از طریق واسطه گرافیکی کاربر (GUI) است. این سیستم قابلیت انجام محاسبات پروفیل سطح آب در حالت‌های جریان ماندگار و

به عنوان شرایط مرزی انتخاب کرد دارد. در مدل HEC-RAS مقادیر دبی و تراز سطح آب اندازه‌گیری شده، شب سطح آب و یا عمق بحرانی را می‌توان



شکل ۵- مقاطع عرضی با بیشترین تنگ‌شدگی بررسی شده در این پژوهش در محل: (الف) پل گریزه و (ب) خاکریزها  
Fig. 5 The sections with the highest contraction examined in this study at locations: a) Gerize bridge and b) embankments

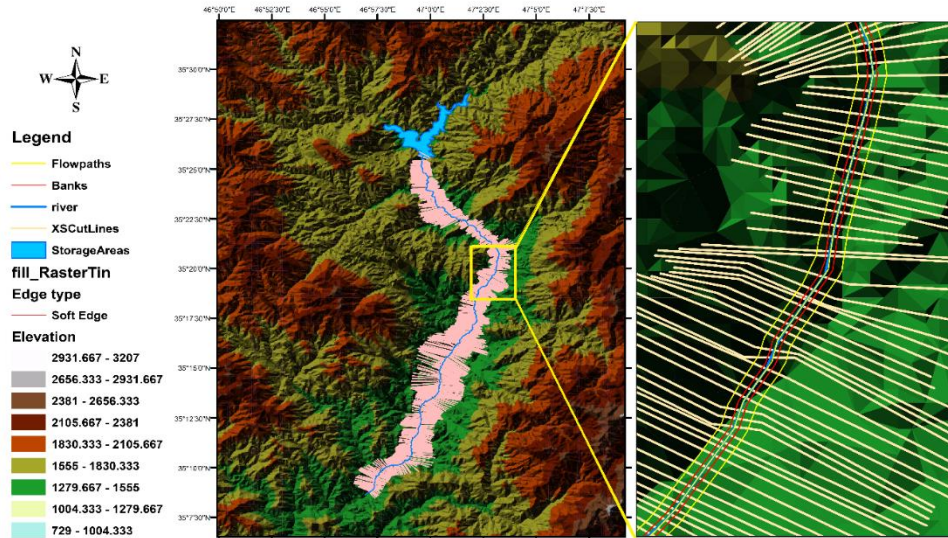
و نیم‌کره شمالی قاره‌گرفته است، بنابراین بخش سیستم مختصات، WGS\_1984\_UTM\_Zone\_38N انتخاب شد. لایه‌های موردنیاز جهت ایجاد فایل هندسی به کمک افزونه HEC-GeoRAS ایجاد شدند. این لایه‌ها شامل خط مرکزی رودخانه، خطوط سواحل، مسیرهای جريان کanal اصلی و سیلاب‌دشت‌های چپ و راست و خطوط مربوط به مقاطع عرضی می‌باشد. در بازدیدهای صحراوی درستی این لایه‌ها

#### ۴-۲- داده‌های مورد استفاده

##### ۱-۴-۲- داده‌های هندسی

مدل رقومی ارتفاع (DEM) با اندازه پیکسل  $12/5 \times 12/5$  m مربوط به مسیر موردمطالعه و نواحی اطراف آن از سایت USGS تهییه شد. مدل رقومی ارتفاع به شکل مدل سه‌بعدی که به صورت شبکه نامنظم مثلثی (TIN) است، تبدیل و در محیط Arc Map ذخیره شد. ناحیه موردمطالعه در زون ۳۸

بررسی شد. در شکل (۶) نمایی از این لایه‌ها نشان داده شده است.



شکل ۶- نمونه‌ای از لایه‌های موردنیاز جهت ایجاد فایل هندسی  
Fig. 6 An example of Layers for creating geometric file

پایین‌دست سد تعیین شد. مدل HEC-RAS با استفاده از مقدار شیب واردشده برای هر کدام از دبی‌ها و با استفاده از روش شیب- سطح (با حل معادله مانینگ برای عمق)، مقدار عمق پایین‌دست را محاسبه می‌کند. با توجه به راهنمای مدل HEC-RAS، این شیب را می‌توان با تقریب مناسب، معادل شیب کف رودخانه در نظر گرفت (USACE, 2010).

داده‌های مربوط به مقاطع عرضی مانند شماره ایستگاه، فاصله سواحل راست و چپ و مرکز مقاطع عرضی از یکدیگر، سواحل کناری و داده‌های X و Y مقاطع عرضی از طریق HEC-RAS استخراج شدند. سپس این موارد به مدل TIN انتقال یافت. در این پژوهش، با استناد به مشاهدات صحراوی و در نظر گرفتن یکنواختی مقاطع جریان، تعداد ۴۹۵ مقطع عرضی رسم شد. مشخصات مقاطع رسم شده به وسیله نرم‌افزار، با مراجعه به محل و اندازه‌گیری‌های متعدد اصلاح شدند.

#### ۲-۴-۲- داده‌های جریان

عملیات ساخت سد وحدت که از نوع سنگریزهای با هسته رسی می‌باشد، در سال ۱۹۷۳ میلادی آغاز شده و در سال ۱۹۷۸ به بهره‌برداری رسید. هدف از ساخت این سد تأمین آب شرب شهر سنندج و حومه آن، آبیاری و توسعه کشاورزی، تنظیم رودخانه و کنترل سیلاب همچنین تولید نیروی الکتریسیته و ایجاد مرکز تفریحی بود. حوزه آبخیز سد وحدت با مساحت  $1050 \text{ km}^2$ ، از طریق رودخانه قشلاق تخلیه می‌شود که دبی سالانه آن در حدود  $136 \text{ MCM}$  می‌باشد. ارتفاع این سد  $80 \text{ m}$  طول تاج  $330 \text{ m}$  و عرض تاج  $10 \text{ m}$  می‌باشد. سرریز سد از نوع اوچی<sup>۲</sup> به طول  $100 \text{ m}$  است. سد وحدت دارای سه دریچه دایره‌ای به قطرهای  $2$ ،  $1/5$  و  $1/5$  می‌باشد.

سد مخزنی قشلاق به دلیل قدمت آن اطلاعات کمی از مخزن و بدنه آن موجود است. از این‌رو، تصاویری از بدنه سد و نحوه جانمایی سرریز و دریچه‌های آن از تصاویر آرشیوی تهیه شدند. برای شرایط مرزی در اولین مقطع رودخانه قشلاق، هیدروگراف مربوط به حداکثر سیلاب محتمل ( $\text{PMF}^1$ )، به عنوان شرط مرزی بالادست سد وارد شد. دبی اوج این سیلاب  $2600 \text{ m}^3/\text{s}$  می‌باشد (Khaleidian et al. 2017). شیب نرمال سطح جریان معادل  $1/000$  برای شرط مرزی

<sup>2</sup> Ogee

<sup>1</sup> Probable Maximum Flood

مولتی فرکانس، برند HITARGET مدل V30 اندازه‌گیری، کنترل و اصلاح شدن. ضریب زبری (مانینگ) آبراهه‌ها با عملیات صحرایی اندازه‌گیری شد. به این صورت که با بازدیدهای کارشناسی از محل مورد مطالعه اطلاعات میزان پوشش گیاهی، درجه پیچان‌رودی، کاربری اراضی، موانع موجود، تغییرات مقاطع عرضی و دانه‌بندی مواد تشکیل‌دهنده جداره آبراهه و سیلاب‌دشت جمع‌آوری و مسیر موردمطالعه از لحاظ یکنواختی پارامترهای فوق به ۲۱ ناحیه تقسیم شدند. نمونه‌ای از اندازه‌گیری‌های صحرایی و زون بندی مناطق در شکل (۷) آورده شد.



شکل ۷- پوشش گیاهی و وضعیت توپوگرافی مسیر موردمطالعه

Fig. 7 Field observation of vegetation and topography of the waterways

$$n = (nb + n_1 + n_2 + n_3 + n_4) m \quad (1)$$

که،  $n_b$  ضریب مانینگ پایه بر اساس دانه‌بندی مواد تشکیل‌دهنده جداره آبراهه و یا سیلاب‌دشت و  $n_3$  و  $n_2$  و  $n_1$  و  $n_4$  به ترتیب ضریب مانینگ تعدیلی برای درجه بی‌نظمی سطح آبراهه اصلی و یا سیلاب‌دشت، تغییرات مقاطع عرضی، موانع موجود و پوشش گیاهی آبراهه اصلی و یا سیلاب‌دشت می‌باشند. همچنین  $m$  ضریب اصلاحی زبری بر اساس درجه پیچان‌رودی آبراهه اصلی است. با توجه به نتایج، دامنه تغییرات ضریب مانینگ در مسیر موردمطالعه در بازه  $0.05$  تا  $0.15$  به‌دست آمد.

## ۷-۲- زبری مسیر جریان

در این پژوهش برای تعیین ضریب مانینگ از دستورالعمل تعیین ضریب زبری رودخانه‌ها، نشریه شماره ۶۸۸ دفتر استانداردهای فنی، مهندسی وزارت نیرو در سال ۱۳۹۴ استفاده شد (Iran's Ministry of Energy, 2015). در این نشریه از روش کاون<sup>۱</sup> که بعداً توسط اداره حفاظت خاک و سازمان زمین‌شناسی آمریکا به عنوان روش استاندارد انتخاب شد، استفاده شده است. در این روش، ضریب مانینگ کل در آبراهه اصلی و یا سیلاب‌دشت از رابطه (۱) به‌دست می‌آید.

<sup>۱</sup> Cowan

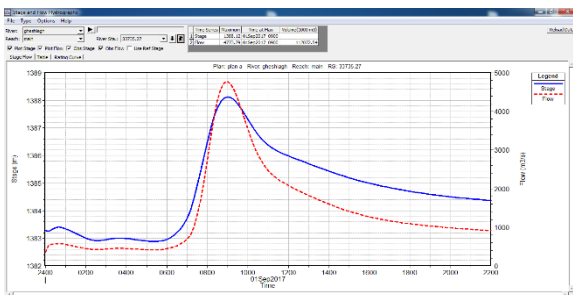
برنامه SAS PLANET گرفته شد، زمین مرجع شده و به این لایه‌ها اضافه شد. با استفاده از همپوشانی این لایه‌ها نواحی که در اثر شکست سد دچار آب‌گرفتگی می‌شوند با دقت بالاتر قابل مشاهده می‌شود.

### ۳- یافته‌ها و بحث

جهت بررسی اثر تنگ‌شدگی‌های محلی رودخانه، بر روی مشخصه‌های سیلاب عبوری، دو محل انتخاب شدند. دلیل انتخاب این نقاط کم عرض شدن مقطع رودخانه و وجود خاک‌ریزها در آن‌ها است. این نقاط به دلیل احداث پل یا دپو خاک حاصل از احداث جاده در آن، در فاصله کوتاهی از مسیر دچار تنگ‌شدگی محسوس در عرض خود می‌شوند.

### ۳-۱- دبی اوج سیلابی و عمق آب

در این نواحی، تغییرات دبی اوج سیلابی و عمق آب نسبت به مقاطع قبل و بعد از آن موردنبررسی قرار گرفت در شکل (۸) نمودار دبی جریان و سطح آب در محل پل گریزه نشان داده شده است.



شکل ۸- نمودار دبی جریان و سطح آب در محل پل گریزه

Fig. 8 Flow and water level diagrams at the Gerize bridge location

با توجه به شکل (۸) ارتفاع سیلاب در محل پل گریزه با گذشت ۶ hr از شروع شبیه‌سازی نوسان چندانی ندارد. پس از گذشت این زمان و با رسیدن سیلاب ناشی از شکست سد به این نقطه، دبی جریان و ارتفاع آب روندی صعودی را نشان می‌دهد. شکل (۸) نشان می‌دهد که دبی اوج سیلاب ناشی از شکست سد در محل پل برابر  $4773.79 \text{ m}^3/\text{s}$  است. حداقل ارتفاع آب به MASL  $1388.12$  می‌رسد. در این مقطع ارتفاع کف رودخانه MASL  $1378.27$  می‌باشد؛ بنابراین، عمق آب در این نقطه به حدود  $10 \text{ m}$  می‌رسد. روند صعودی دبی و عمق آب حدود  $3 \text{ hr}$  است و پس از آن و با

### ۴-۸-۲- ابعاد گسیختگی

به منظور شبیه‌سازی شکست سد، ابعاد گسیختگی در بدنه سد با استفاده از روش (Froehlich, 2008) محاسبه شد. برای محاسبه پارامترهای شکست در این پژوهش از روابط (۲) و (۳) استفاده شد.

$$B_{ave} = 0.27 K_0 V_w^{0.32} h_b^{0.04} \quad (2)$$

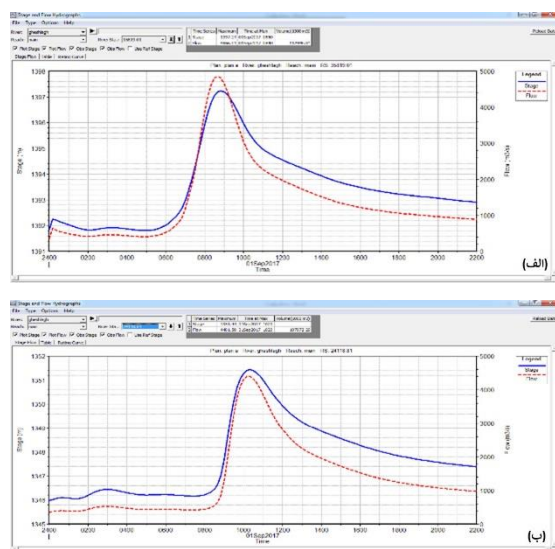
$$f_t = 63.2 \sqrt{V_w / gh_b^2} \quad (3)$$

که،  $B_{ave}$  عرض متوسط ناحیه بازشدگی (m)،  $K_0$  ضریب ثابت (که برای شکست از نوع سریزی، معادل  $1/3$  و برای شکست از نوع رخنگی، معادل ۱،  $V_w$  حجم مخزن سد در لحظه شکست ( $\text{m}^3$ ),  $h_b$  ارتفاع نهایی ناحیه بازشدگی (m) و  $t_f$  زمان شکل‌گیری شکست (hr) می‌باشد. در این پژوهش، متوسط شیب دیواره‌های کناری ناحیه بازشدگی به صورت  $V1:H1$  برای شکست از نوع روگذری و  $V1:H0.7$  برای شکست از نوع حفرگی می‌باشد (Froehlich, 2008). تاریخ و ساعت شروع و پایان شبیه‌سازی متناسب با داده‌های دبی رودخانه قشلاق که از شرکت مدیریت منابع آب ایران تهیه شد، تنظیم شدند. فواصل زمانی مربوط به خروجی‌های مدل شامل هیدروگراف‌ها و جداول و جزئیات مربوط به آن برای نرم‌افزار مشخص شدند. فاصله خروجی‌ها،  $10 \text{ min}$  انتخاب شد، از این‌رو تعداد  $134$  خروجی در زمان‌های مختلف حاصل شدند. از جمله این خروجی‌ها، حداقل پهنای سطح آب در هر کدام از مقاطع عرضی، سرعت جریان، قدرت سیلاب، عمق جریان و موارد دیگر می‌باشد.

### ۵-۹-۲- نرم‌افزار ArcMap

با استخراج نتایج شبیه‌سازی شکست سد و روندیابی سیلاب از برنامه HEC-RAS، نتایج به نرم‌افزار ArcMap انتقال یافت. نرم‌افزار ArcMap بخشی از بسته نرم‌افزاری ArcGIS است که توسط شرکت ESRI ساخته شده است. در این نرم‌افزار لایه‌های ایجاد شده با رنگ‌های مختلف از هم قابل تفکیک هستند. پس از انجام محاسبات مربوط به پهنای سیلاب ناشی از شکست سد، سرعت، نیروی سیلاب در نقاط مختلف و عمق سیلاب به وسیله نرم‌افزار، هر کدام از این لایه‌ها به تفکیک قابل نمایش می‌باشند. سپس تصویر ماهواره‌ای از منطقه مورد مطالعه که از ماهواره YANDEX و به کمک

بالادست خاکریزها، آورده شده است. در این مقطع دبی اوج سیلاب دارای مقدار بیشتری نسبت به محل خاکریزها بوده و معادل  $4401/58 \text{ m}^3/\text{s}$  می‌باشد. همچنین عمق آب در این مقطع  $9/4 \text{ m}$  است. این مقطع در محلی انتخاب شده است که خاکریزها بر روی آن بی‌تأثیر باشند.



ب-مقطع بالادست خاکریزها

b) upstream section of embankments

شکل ۱۰-نمودار دبی جریان و سطح آب: الف- مقطع بالادست پل گریزه ب- مقطع بالادست خاکریزها

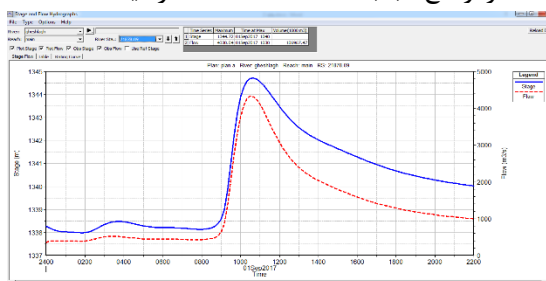
Fig. 10 Flow and water level diagrams: a) upstream section of Gerize bridge and b) upstream section of embankments

با توجه به این نتایج، دبی اوج سیلاب در محل موانع نسبت به مقطع بالادستی خود، به طور چشمگیری کاهش یافت که با یافته‌های پژوهش (Saghafian et al. 2008) مطابقت دارد. عمق آب قبل از تنگشدن رودخانه و در مقطع بالادستی نقاط موردبررسی، نسبت به محل موانع، به طور قابل ملاحظه‌ای کمتر است. با توجه به این نتایج، پل و خاکریزها مانند یک مانع عمل کرده و موجب کاهش عبور جریان از رودخانه شدند. با افزایش عمق آب، پهنهای سطح آب افزایش یافت. در محل پل گریزه پهنهای سیلاب به  $586 \text{ می‌رسد}$ . این در حالی است که در مقطع بالادست آن، عرض آب در بیشترین مقدار به  $205 \text{ m}$  می‌رسد. از این‌رو در اثر جریان سیلاب ناشی از شکست سد، وجود موانع ساخته شده باعث می‌شود مناطق وسیع‌تری دچار آب‌گرفتگی

گذشت موج سیلاب ناشی از شکست سد، این موارد افت می‌کنند.

در محل تنگشدن رودخانه، ناشی از خاکریزی نیز مقدار دبی، عمق و سطح آب موردبررسی قرار گرفت. خاکریزها در طول  $2 \text{ km}$  در راستای رودخانه قرار گرفته است و چند مقطع از مسیر را شامل می‌شود. بیشترین مقدار عمق سیلاب، در این مقطع نزدیک به هم بوده و در حدود  $10.8 \text{ m}$  می‌باشد. برای نمونه یکی از این مقطع که در وسط این مقطع قرار دارد، در شکل (۹) نشان داده شده است. عمق سیلاب در بیشترین مقدار خود در این مقطع معادل  $10.7 \text{ m}$  و دبی اوج سیلاب ناشی از شکست سد برابر  $4330.04 \text{ m}^3/\text{s}$  است.

حداکثر ارتفاع آب به  $1344.72 \text{ MASL}$  رسید.



شکل ۹- نمودار دبی جریان و سطح آب در محل خاکریزها

Fig. 9 Flow and water level diagrams at the embankments location

با توجه به نمودار شکل (۹)، با گذشت  $9 \text{ hr}$  از آغاز شبیه‌سازی، سیلاب ناشی از شکست سد به محل خاکریزها می‌رسد و دبی و عمق جریان را بالا می‌برد. روند افزایش عمق و دبی جریان  $1.5 \text{ hr}$  ادامه و با گذشت موج سیلاب، روندی کاهشی را نشان می‌دهد. در مقطع بالاتر از هر دو موانع و در ناحیه‌ای که رودخانه دستنخورده است، دبی، عمق و سطح آب موردبررسی قرار گرفت. نتایج در شکل (۱۰) نشان داده شده است.

دبی اوج سیلاب ناشی از شکست سد در مقطع بالادست پل گریزه که در شکل (۱۰-الف) آورده شده است، برابر  $4866.01 \text{ m}^3/\text{s}$  است. حداکثر ارتفاع آب به  $4866.01 \text{ MASL}$  می‌رسد. در این مقطع ارتفاع کف رودخانه  $1389/65 \text{ می‌باشد؛ بنابراین، عمق آب در این نقطه به } 7/6 \text{ m}$  می‌رسد. در شکل (۱۰-ب)، این نمودارها برای مقطع

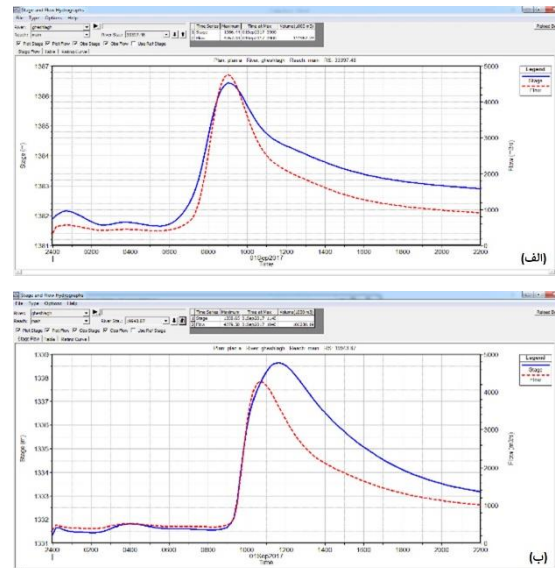
که عمق سیلاب ناشی از شکست سد وحدت پس از عبور از این ناحیه، کاهش می‌یابد. عمق سیلاب در این مقطع و در بیشترین مقدار خود  $8/7\text{ m}$  و دبی اوج سیلاب  $\text{m}^3/\text{s}$   $4279/58$  می‌باشد. نمودار دبی جریان و سطح آب مربوط به این مقطع در شکل (۱۱-ب) قابل مشاهده است. با توجه به این نتایج، پس از عبور آب از محل تنگ شدگی رودخانه ناشی از پل و خاکریزها، سطح آب کاهش یافته و تأثیر تنگ شدگی بر دبی اوج سیلاب همچنان مشهود است. عمق آب در مقایسه دو مقطع قبل و بعد از این نواحی، تفاوت زیادی دارند که نشان‌دهنده تأثیر تنگ شدگی عرض رودخانه بر این مشخصه‌ها می‌باشد. به علت کاهش سطح مقطع عبوری جریان در محل قرارگیری پل گریزه، عمق سیلاب ناشی از شکست سد افزایش یافته و تراز سطح آب بالا رفت که با نتایج پژوهش (Areu et al. 2019)، مطابقت دارد.

### ۳-۲- سرعت جریان

یکی دیگر از مشخصه‌های جریان که در این پژوهش مورد بررسی قرار گرفت، سرعت جریان در مقطع موردنظر و مقطع قبل و بعد آن‌ها می‌باشد. سرعت جریان در حالی که سطح آب دارای بیشترین مقدار است، در مقطعی که پل گریزه در آن قرار داشته و دارای تنگ شدگی است،  $1/43\text{ m/s}$  می‌باشد. این سرعت برای مقطع پایین‌دستی آن  $2/94\text{ m/s}$  می‌باشد. این سرعت‌ها مربوط به مرکز کanal اصلی می‌باشد. از آنجایی که در محل موانع موردنظر عرض رودخانه کاهش می‌یابد، این کاهش عرض شبیه یک مانع عمل کرده و موجب کاهش جریان سیلاب ناشی از شکست سد شد. با کاهش عبور جریان، سرعت در مقطع بالای موانع کاهش می‌یابد. مقایسه سرعت جریان در این محل و پایین‌دست آن، تفاوت سرعت در این نواحی را نشان داد. در محل مانع دوم و در مقطعی که در آن خاکریزها قرار دارد، سرعت جریان در حالی که سطح آب دارای بیشترین مقدار است، در حدود  $2\text{ m/s}$  می‌باشد. این سرعت برای مقطع پایین‌دستی آن که موردنظر قرار گرفت،  $\text{m/s}$

Sadeghi et al. (2007) شوند. این نتیجه با یافته‌های پژوهش هم‌خوانی دارد.

با توجه به نمودارهای شکل (۱۰) در مقطع بالادست پل گریزه، زمان رسیدن به اوج نمودار  $3/5\text{ hr}$  طول می‌کشد که این زمان برای مقطع بالادست خاکریزها حدود  $3/5\text{ hr}$  است. در مقایسه این مقطع با مقاطعی که در محل قرارگیری پل و خاکریزها قرار دارند می‌توان نتیجه گرفت که زمان رسیدن به اوج در محل قرارگیری پل و خاکریزها کاهش یافته که با یافته‌های پژوهش Liu et al. (2005) مطابقت دارد. پس از عبور جریان از محل پل و خاکریزها و با رسیدن سیلاب به مقاطع پایین‌دست، دبی اوج سیلاب و ارتفاع سطح آب موردنظر قرار گرفت. نمودارهای بررسی شده مربوط به این مقاطع در شکل (۱۱) آورده شده است.



شکل ۱۱- نمودار دبی جریان و سطح آب: (الف) مقطع پایین‌دست پل گریزه (ب) مقطع پایین‌دست خاکریزها

Fig. 11 Flow and water level diagrams: a) downstream section of Gerize bridge and b) downstream section of embankments

با توجه به شکل (۱۱-الف)، دبی اوج سیلاب ناشی از شکست سد در مقطع پایین‌دست پل گریزه برابر  $4767\text{ m}^3/\text{s}$  است. حداقل ارتفاع آب به  $1386/43\text{ MASL}$  می‌رسد. در این مقطع ارتفاع کف رودخانه  $1379/56\text{ MASL}$  می‌باشد؛ بنابراین، عمق آب در این نقطه به  $6/9\text{ m}$  می‌رسد. بررسی مقطع واقع در پایین‌دست ناحیه دارای خاکریزی نشان داد

۳- سرعت جریان در مقاطعی که پل و خاکریزها در آن موجود است، کاهش یافت. سرعت جریان، در مقایسه مقاطع قبل و بعد از این عوارض، دارای تفاوت چشمگیری می‌باشد.

۴- ارتفاع سیلاب شبیه‌سازی شده در محل پل به بالاتر از ارتفاع عرضه رسید که این افزایش ارتفاع بیانگر عدم پایداری آن در اثر عبور سیلاب می‌باشد. ارتفاع پل معادل  $4/5$  m و ارتفاع سیلاب شبیه‌سازی در این محل و در بیشترین مقدار آن معادل  $10$  m است.

موقعیت خاکریزهای ایجاد شده که اکثراً در حریم و بستر رودخانه است نشان می‌دهد حتی در اثر سیلاب‌های به مرتب کمتر از سیلاب شبیه‌سازی شده در این پژوهش، مواد انباسته شده باعث افزایش رسوب برداری جریان شده و مقاطع پایین‌تر را دچار گرفتنگی می‌کند. از آنجایی که رودخانه قشلاق یک رود مرزی است، دسترسی به داده‌های مربوط به آن دشوار است بنابراین اطلاعات ورودی دقیق از جمله اطلاعات هیدرولیکی- اطلاعات توپوگرافی و اطلاعات جریان سیل برای احراشدن مدل HEC-RAS جهت پنهان‌بندی سیلاب ناشی از شکست سد در دسترس نیست. همچنین برای به- دست آوردن ارتفاع نقاط موردنظر در طول مسیر و تهییه عکس‌های هوایی با ارتفاع کم، محدودیت اقتصادی جهت تهییه ابزارهای با دقت بالا وجود دارد.

۳/۳۵ می‌باشد. این سرعت‌ها مربوط به مرکز کanal اصل است.

#### ۴- نتیجه‌گیری

احداث سازه‌هایی همچون سد، پل و یا خاکریزی و دیوارچینی‌ها در حریم و بستر رودخانه‌ها، ظرفیت طبیعی آبگذری آن‌ها را تغییر می‌دهد. از این‌رو در این پژوهش با استفاده از اندازه‌گیری‌های صحراوی، تفسیر تصاویر ماهواره‌ای و شبیه‌سازی جریان، تأثیر این عوامل بر روی جریان آب در دو ناحیه از رودخانه قشلاق در شهر سنندج، موربدرسی قرار گرفت. نتایج به دست آمده از این پژوهش شامل موارد زیر می‌باشد:

۱- وجود پل و خاکریزی‌های ایجاد شده در حریم و بستر رودخانه، مانند یک مانع در برابر جریان آب عمل کرده و عمق آب در پشت آن افزایش یافت. این افزایش عمق در پل گریزه و در محل خاکریزها نسبت به مقطع بالادستی آن‌ها که بی‌تأثیر از این موانع است، به ترتیب معادل  $2/4$  و  $1/3$  m می‌باشد.

۲- در محل پل و خاکریزها، با کاهش عبور جریان، دبی اوج سیلاب کاهش چشمگیری داشته و این کاهش دبی در مقاطع بعد از این نواحی نیز قابل مشاهده است. کاهش دبی اوج سیلاب در این نواحی نسبت به مقطع بالادستی به ترتیب در حدود  $90$  و  $70$   $m^3/s$  است.

## References

- Abbaszadeh T. N., Makhdoum M. F. and Mahdavi M. (2011). Studying the Impacts of land use changes on flood flows by using remote sensing (RS) and geographical information system (GIS) Techniques: a case study in Dough River Watershed, northeast of Iran. Environ. Res., 1(2), 1-14 [In Persian].
- Adeyeri O. E., Laux P., Lawin A. E. and Arnault J. (2020). Assessing the impact of human activities and rainfall variability on the river discharge of Komadugu-Yobe Basin, Lake Chad Area. Environ. Earth Sci., 79(6), 1–12.
- Areu-Rangel O. S., Cea L., Bonasia R. and Espinosa-Echavarria V. J. (2019). Impact of urban growth and changes in land use on river flood hazard in Villahermosa, Tabasco (Mexico), Water, 11(2), 304.
- Ashouri M., Rezaei Moghaddam M. H. and Piry Z. (2013). Morphologic change assessment of riverbed before and after dam construction using HEC-RAS modeland GIS (case study:

- downstream of Satarkhan Dam). *Nat. Geogr. Res.*, 45(1), 87–100 [In Persian].
- Froehlich D. C. (2008). Embankment dam breach parameters and their uncertainties. *J. Hydraul. Eng.*, 134(12), 1708–1721.
- Gai L., Nunes J. P., Baartman J. E. M., Zhang H., Wang F., de Roo A. and Geissen V. (2019). Assessing the impact of human interventions on floods and low flows in the Wei River Basin in China using the LISFLOOD model. *Sci. Total Environ.*, 653, 1077–1094.
- Graf, W. L. (2006). Downstream hydrologic and geomorphic effects of large dams on American rivers. *Geomorph.*, 79(3–4), 336–360.
- Hosseinzadeh S. R., Rashidi M. Speher A. Zarei H. and Khanabad M. (2016). Study of geomorphological changes of Karun river bed and its causes from 1954 to 2011. *Quant. Geomorph. Res.*, 5(43–59) [In Persian]
- Iran's Ministry of Energy (2005). Guideline for flood zoning and determination of river bed and privacy limitation, Iran Water Resources Management, Standard office and technical criteria, Publication No .307 [In Persian].
- Iran's Ministry of Energy (2013). Report of cultivated lands of gheshlagh dam. West map processing consulting engineers co. Iran water and power resources development company .[In Persian]
- Iran's Ministry of Energy (2015). Guideline for determination of the hydraulic roughness coefficient of rivers. Ministry of Energy. Office of Deputy for Strategic Supervision Bureau of Technical Execution System. Bureau of Engineering and Technical Criteria for Water and Wastewater, Publication No. 688. [in Persian]
- Khaledian H., Faghih H. and Amini A. (2017). Classifications of runoff and sediment data to improve the rating curve method. *J. Agri. Eng.*, 48(3), 147-153.
- Li Z., Li W. and Ge W. (2018). Weight analysis of influencing factors of dam break risk consequences. *Nat. Hazard. Earth Sys. Sci.*, 18(12), 3355-3362.
- Liu Y. B., De Smedt F., Hoffmann L. and Pfister L. (2005). Assessing land use impacts on flood processes in complex terrain by using GIS and modeling approach. *Environ. Model. Assess.*, 9(4), 227–235.
- Nirupama N. and Simonovic S. P. (2007). Increase of flood risk due to urbanisation: a Canadian example. *Nat. Hazard.*, 40(1), 25.
- Raman A. and Liu F. (2019). An investigation of the brumadinho dam break with HEC RAS simulation, *Physic. Com. Ph.*, 1911.05219.
- Sadeghi S. H. R., Hajigolizadeh M. and Vafakhah M. (2007). The impact of bridges and abutments on change in depth and flood area in an interval of Tehran river. *Watershed Manag. Eng.*, 1, 64–67 [In Persian].
- Saghafian B., Farazjoo H., Bozorgy B. and Yazdandoost F. (2008). Flood intensification due to changes in land use. *Wat. Resour. Manag.*, 22(8), 1051–1067.
- Trueheart M. E., Dewoolkar M. M., Rizzo D. M., Huston D. and Bomblieres A. (2020). Simulating hydraulic interdependence between bridges along a river corridor under transient flood conditions. *Sci. Total Environ.*, 699, 134046.
- USACE. (2010). HEC-RAS river analysis system user manual. US army corps of Engineering, Institute of water resources, hydraulic engineering center, <http://www.usace.army.mil>.
- Wu M., Ge W., Li Z., Wu Z., Zhang H., Li J. and Pan Y. (2019). Improved set pair analysis and its application to environmental impact evaluation of dam brea. *Wat.*, 11(4), 821.

# Investigation of Flood Characteristics Due to Dam Failure in the Narrow Section of the River

Azad Miraki<sup>1</sup>, Jamil Bahrami<sup>2\*</sup> and Ata Amini<sup>3</sup>

<sup>1</sup>M.Sc. Alumni, Department of Civil Engineering, Faculty of Engineering, University of Kurdistan, Sanandaj, Iran

<sup>2</sup>Assist. Professor, Department of Civil Engineering, Faculty of Engineering, University of Kurdistan Sanandaj, Iran

<sup>3</sup>Assoc. Professor, Kurdistan Agricultural and Natural Resources Research and Education Center, AREEO, Sanandaj, 66169-49688, Iran

\*Corresponding author: jbahrami@uok.ac.ir

## Original Paper

Received: August 26, 2020

Revised: October 20, 2020

Accepted: October 20, 2020

## Abstract

In this study, changes in flood characteristics due to the failure of Vahdat Dam (Gheshlagh) in areas where the cross section of the river has changed, because of human activities, were investigated. For this purpose, the HEC-RAS model was used to simulate the failure of the dam and the resulting flood flow. Data on the dam structures and flow of the Gheshlagh River in Kurdistan Province, on which the Vahdat Dam is located, were obtained from the Kurdistan Regional Water Company. Using the ArcMap software, after converting the digital elevation model (DEM) to a three-dimensional model (TIN), the required parameters and lines related to the cross sections on the river were drawn. This data was transferred to the HEC-RAS model. Through field studies, cross sections were corrected and Manning coefficient was measured in different zones. After preparing images of bridges and embankments along the flow path, the height of the bridge and the embankments in the flow path were measured using station GPS. The Grize Bridge and the location of the studied embankments in this study located 23 and 33 km downstream of the Vahdat Dam, respectively, were selected to investigate the changes in flood characteristics due to local narrowing. Changes in water height and width in the study areas were investigated. At the site of the Grize Bridge, the peak of flooding due to dam failure and water depth was  $4773.79 \text{ m}^3/\text{s}$  and 10 m, respectively. These values at the embankments were  $4330.04 \text{ m}^3/\text{s}$  and 10.8 m, respectively. Comparing these numbers with the data calculated in the previous sections of these contracted sites indicates a significant reduction in the flow capacity.

**Keywords:** Flood Routing; HEC-RAS; Gheshlagh River; Kurdistan; Peak Flood.